



طراحی، سنتز و نشاندار سازی پیتید ^{18}FDG با برای تصویربرداری از فیرین جهت تشخیص ترومبوز

صدیقه رضائیان‌پور (PhD)^{۱*}، مونا مسیب‌نیا (PhD)^۲، عاطفه حاجی آقابزرگی (PhD)^۳،

ابوالقاسم مقیمی (PhD)^۱، سعید بلالائی (PhD)^۴، ثریا شاه‌حسینی (PhD)^۵

^۱ گروه شیمی، دانشگاه آزاد واحد شمال تهران، تهران، ایران

^۲ گروه داروسازی هسته‌ای، دانشکده داروسازی، دانشگاه علوم پزشکی تهران، تهران، ایران

^۳ دانشکده داروسازی، دانشگاه علوم پزشکی البرز، کرج، ایران

^۴ مرکز تحقیقاتی شیمی پیتید، دانشگاه خواجه نصیرالدین طوسی، تهران، ایران

^۵ گروه شیمی داروئی و داروسازی هسته‌ای، دانشکده داروسازی، مرکز تحقیقات فناوری پروتئین، دانشگاه علوم پزشکی شهید بهشتی، تهران، ایران

چکیده

(دریافت مقاله: ۹۶/۸/۱۱ - پذیرش مقاله: ۹۶/۱۱/۲)

زمینه: در تصویربرداری پت، ^{18}FDG بهترین رادیونوکلید می‌باشد. نشاندار سازی پیتید به طور مستقیم با ^{18}FDG مشکل است و از روش غیرمستقیم و استفاده از ترکیبات واسطه حاوی ^{18}FDG -استفاده می‌شود. به دلیل در دسترس بودن ^{18}FDG در اغلب مراکز پت، ^{18}FDG به عنوان یک ترکیب واسطه از پتانسیل بالائی برای نشاندار کردن پیتیدها برخوردار می‌باشد. در مطالعه حاضر یک پیتید خطی حاوی گروه آمینواکسی برای تصویربرداری از فیرین طراحی، سنتز و با رادیوداروی ^{18}FDG گلوکز ^{18}FDG نشاندار شد.

مواد و روش‌ها: مطالعات داکینگ با استفاده از نرمافزار AutoDock ویرایش ۴/۱ و نرمافزار HEX صورت گرفت و پیتید خطی Aoe-GPRPILE از روش Fmoc پیتید نشاندار و سرد در پلاسمای انسانی و PBS با استفاده از روش‌های کروماتوگرافی تعیین گردید. نسبت حلالیت چربی به آب (LogP) پیتید نشاندار محاسبه گردید.

یافته‌ها: نتایج محاسبات داکینگ و فارماکوفور با استفاده از نرمافزار HEX نشان دهنده تمایل بالای توالی طراحی شده نسبت به فیرین است ($E_{\text{Total}} = 0/01$). دستگاه LC-Mass ساختمان پیتید سنتز شده را تأیید کرد. پیتید تا ۲۴ ساعت در پلاسمای انسانی و بافر PBS پایدار بود. نشاندار سازی با استفاده از $0/2$ میلی گرم پیتید، $1 \text{ mCi } ^{18}\text{FDG}$ در حرارت 90°C به مدت ۳۰ دقیقه، pH=۵ با خلوص رادیوشیمیائی بالای ۹۵ درصد حاصل شد. پایداری پیتید نشاندار تا ۲ ساعت در پلاسمای انسانی بیش از ۹۵ درصد بود. نسبت حلالیت چربی به آب $\text{LogP} = -1/5$ بدست آمد.

نتیجه‌گیری: ^{18}FDG از پتانسیل بالائی در نشاندار سازی پیتیدها با روش غیرمستقیم برخوردار می‌باشد. در این مطالعه پیتید Aoe-GPRPILE سنتز و با استفاده از گروه آمینواکسی موجود در ساختار با ^{18}FDG با راندمان بالا و خلوص مناسب نشاندار گردید. آمینواکسی به عنوان یک گروه واسطه در آخرین مرحله مانند یک آمینو اسید بر روی سکانس پیتیدی با حداقل تأثیر بر روی خصوصیات پیتید اضافه شده و به صورت انتخابی پیوند پایدار اکسیم (oxime) با گروه آلدئیدی ^{18}FDG ایجاد می‌کند.

واژگان کلیدی: ترومبوز، فیرین، نشاندار سازی با ^{18}FDG ، پیتید

** تهران، گروه شیمی داروئی و داروسازی هسته‌ای، دانشکده داروسازی، دانشگاه علوم پزشکی شهید بهشتی، تهران. ایران.

Email: s_shahoseini@sbmu.ac.ir

*ORCID: 0000-0002-0451-6202

**ORCID: 0000-0001-5681-073X

مقدمه

آنتی‌بادی‌های نشاندار و قطعات، نانو ذرات، پلاکت‌های نشاندار برای تصویربرداری از پلاکت و فیبرین تا به حال مورد بررسی قرار گرفتند. که به علت مشکلات نشاندارسازی، اندازه بزرگ، کلیرانس آهسته در خون و فارماکوکیتیک نامناسب عملاً در کلینیک بکار نمی‌رودند. پپتید‌ها به علت اندازه کوچک‌تر، کلیرانس سریع‌تری داشته و در کبد و ریه برداشت کمتری دارند، سنتز آنها راحت‌تر و ارزان‌تر می‌باشد، روش‌های نشاندارسازی پپتیدها راحت‌تر بوده و در مجموع به علت فارماکوکیتیک مناسب برای تصویربرداری در پزشکی هسته‌ای مناسب‌تر می‌باشند (۱۳-۱۱).

بر اساس بازنگری منابع منتشر شده، در بین توالی‌های پپتیدی که بر علیه فیبرین تهیه شدند، پپتیدها بر پایه تری‌پپتید، گلایسین-پرولین-آرژنین (GPR) نتایج خوبی را نشان دادند (۱۴). در بررسی‌های بعدی، پتا پپتید GPRPP با استفاده از ۴ آمینواسید GAGG با تکنسیوم نشاندار شد و برای جلوگیری از ممانعت فضائی، ۴ آمینوبوتیریک اسید در ساختار پپتید بکار رفت. این پپتید جدید که وزن مولکولی حدود ۸۵۰ دارد به نام TP-850 با سکانس (GPRPP-aba-GAGG) معرفی شد. نتایج نشان داد که TP850 علاوه بر اتصال به فیبرین باعث تجمع پلاکتی هم می‌شود که نمایانگر اختصاصی نبودن پپتید به فیبرین می‌باشد (۱۵-۱۶).

در این مطالعه به منظور تهیه پپتید که به طور اختصاصی و با تمایل بالا به فیبرین متصل شود، پتا پپتید GPRPP که تمایل مناسبی را به فیبرین در ارزیابی‌های اولیه از خود نشان داده است، به عنوان ترکیب رهبر انتخاب شد و طراحی‌های جدید صورت گرفت.

یکی از علل پاتولوژیک مهم بیماری‌های قلبی و عروقی ایجاد لخته ناخواسته در اثر تجمع پلاکتی می‌باشد. طی فرآیند تشکیل لخته خون، ترومیبن از پروترومبین ایجاد شده و مولکول حاصل با تأثیر بر پروتئین محلول در پلاسمما به نام فیبرینوژن آن را به نحوی تغییر می‌دهد که به صورت یک شبکه نامحلول از رشته‌های فیبرین در می‌آید و پس از گیر افتدان گلوبول‌های قرمز و پلاکت‌ها در آن شبکه، لخته ثابت یا ترومبوز تشکیل می‌گردد. پس از تشکیل لخته، جریان مدام خون ممکن است آن را از محل اتصالش جدا نموده و همراه خون جریان پیدا کند. این قبیل لخته‌های آزاد در جریان خون آمبولی نامیده می‌شوند. از آنجایی که ترومبوز عامل ایجاد کننده بیماری‌های مهم تهدید کننده حیات مثل: آنفارکتوس میوکارد، سکته، ترومبوز وریدهای عمقی و آمبولی ریه می‌باشد، لذا تشخیص، تعیین محل و درمان به موقع آن از اهمیت به سزاوی برخوردار است (۱-۶).

از بین اجزاء تشکیل دهنده ترومبوز، فیبرین بهترین هدف برای تصویربرداری و تشخیص می‌باشد. فیبرین از پلیمریزاسیون فیبرینوژن حاصل می‌شود، و به فراوانی در همه ترومبوزها موجود است. و در حداقل غلظت در گردش خون وجود دارد که برای تصویربرداری در مطالعات درون تنی *in vivo* عالی است. فیبرین در حالت‌های غیر پاتولوژیک یافت نمی‌شود. حضور فیبرین در همه ترومبوزها نمایانگر حساسیت و ویژگی بالا فیبرین به عنوان هدف می‌باشد. فیبرین همچنین به عنوان هدف برای عوامل آنتی ترومبوتیک قوی نیز مطرح می‌باشد. (۷-۱۰).

رسپتورهای سطح پلاکت‌های فعال شده و فیبرین بیشتر از سایر هدف‌ها در بررسی ترومبوز مطالعه شده‌اند.

نشاندارسازی غیرمستقیم از طریق ترکیبات واسطه (prosthetic group) توسعه یافته است. سنتز ترکیبات واسطه حامل ^{18}F بسیار پیچیده و پر هزینه است و نیازمند تکنولوژی‌های پیشرفته است. از نکات حائز اهمیت در این سنترها رسیدن به حداقل زمان تولید است که به منظور رسیدن به این زمان حداقل باید سعی شود واکنش‌ها در یک مرحله صورت گیرد و امکان طراحی آن به صورت سنتز دستگاهی وجود داشته باشد. تاکنون تعدادی از ترکیبات واسطه حامل ^{18}F ، برای انواع واکنش‌های شیمیایی معرفی شده‌اند (۱۸).

تشکیل اکسیم بین یک گروه آلدهید یا کتون با یک ترکیب دارای گروه آمینواکسی به‌طور گستردۀ برای کوئنزوگه کردن بیوملکول‌ها استفاده می‌شود. از مزایای مهم این واکنش انتخابی بودن آن از نظر شیمیائی (chemoselective) است که می‌تواند در محلول آبی یا مائی انجام شود (۱۹). در واکنش تشکیل پیوند اکسیم سایر گروه‌های فعال موجود در ترکیب دست نخورده باقی می‌مانند و نیاز به مراحل قرار دادن گروه محافظه و برداشتن آن ندارند. مانند سایر واکنش‌های تشکیل ایمین، تشکیل پیوند اکسیم نیز برگشت‌پذیر است (۲۰) و (۲۱). به دلیل وجود اثر α بر روی گروه نیتروژن در گروه آمین اکسی تعادل واکنش در جهت تشکیل پیوند اکسیم است و در بسیاری از موارد واکنش فقط منجر به تولید یک محصول می‌شود (۲۲).

-D-فلوئور-۲-دزوکسی- ^{18}FDG گلوکز (18FDG) در اغلب مراکز پت، انتخاب مناسبی برای ترکیبات واسطه حاوی فلوئور-۱۸ می‌باشد. بررسی‌ها نشان داده است که آمینواکسی یا هیدرازین در محلول آبی پیوند پایدار اکسیم یا هیدرازون با آلدهید ایجاد می‌کنند. هیدرازین نیکوتینیک اسید (HYNIC) و N-(1-اتوکسی اتیدین) ۲-

پپتیدها را می‌توان با استفاده از داکینگ الگوریتم طراحی کرد. دلیل اصلی برای استفاده از داکینگ، پیشگویی ترکیبات متصل شونده به گیرنده و نیز مشاهده ساختار هندسی سه بعدی کمپلکس فارماکوفور با جایگاه فعال گیرنده است که متعاقباً باعث کاهش هزینه‌های سنتز توالی‌های مختلف خواهد شد (۱۷). در طراحی پپتیدها پارامترهای متنوعی وجود دارد که باید در نظر گرفته شوند از جمله: طول توالی پپتید، نوع اسیدهای آمینه، ساختار ثانویه، حلالیت، نوع و میزان بار القایی در توالی و وجود گروه‌های غیرقطبی. سنتز دسته وسیعی از پپتیدها با روش فاز جامد و نشاندار شدن آنها با رادیونوکلیدهای پرکاربرد در پزشکی هسته‌ای، جایگاه ویژه‌ای را برای پپتیدهای نشاندار با مواد رادیواکتیو (رادیوپپتیدها) برای تشخیص و درمان بیماری‌ها به‌ویژه سرطان پیدا کرده است. با وجود انواع بسیاری از رادیونوکلیدهای تاکنون برای مصارف پزشکی و تهیه رادیوداروها معرفی شده‌اند، فلوئور-۱۸ (^{18}F) و تکنسیوم-۹۹ (^{99}Tc) همچنان به دلیل خصوصیات مناسبی که دارند به عنوان رادیوداروهای استاندارد به ترتیب جهت تهیه رادیوداروهای تشخیصی در تصویربرداری پت PET و اسپکت SPECT مطرح هستند.

دوربین‌های پت نسبت به اسپکت از حساسیت و رزولوشن بیشتری برخوردار هستند به همین دلیل نشاندارسازی با رادیونوکلیدهای پوزیترون دهنده از ارزش خاصی برخوردار می‌باشد. در بین این رادیونوکلیدهای فلوئور-۱۸ (^{18}F) به دلیل ویژگی‌هایی نظیر: اکتیویته ویژه بالا، نیمه عمر مناسب، انرژی کم پوزیترون، برای نشاندارسازی پپتیدها مطلوب است. نشاندارسازی مستقیم پپتید با ^{18}F به علت شرایط دشوار واکنش مثل: pH پایین، دمای بالا و نیاز به مقدار زیاد پپتید تقریباً غیرممکن است. از این رو

شد که با قرار دادن گروههای عاملی بر روی ^{18}FDG سبب تمایز آن از گلوکز شده و واکنش رقابتی محدود می‌گردد ولی نتایج چندان قابل توجهی نداشتند (۲۷). روش‌های کروماتوگرافی که باعث جداسازی گلوکز از ^{18}FDG ۱۸ می‌شود، موفقتی بیشتری داشته‌اند (۲۹). در این مطالعه، پیتید GPRPILE حاوی گروه آمینو اکسی با استفاده از روش فاز جامد ستر و سپس با ^{18}FDG نشاندار و آزمایشات مربوط به تأیید ساختار و و پایداری بر روی آن انجام خواهد شد.

مواد و روش‌ها

اسید های آمینه و رزین ۲- کلرو تریتیل کلراید از شرکت Bachem، حلال‌ها از شرکت مرک و سیگما خریداری شدند. اتوکسی اتیدین آمینواکسی استیک (Eei-Aoe-NHS) اسید هیدروکسی سوکسین ایمید (Eei-Aoe-NHS) از شرکت IRIS Biotech GmbH از آلمان و شرکت ۱۹FGD از ABX advanced Biochemical compounds آلمان خریداری شدند. محلول ^{18}FDG از مرکز پژوهشی هسته‌ای فردوس- بیمارستان دکتر مسیح دانشوری تهیه گردید. عملیات داکینگ با استفاده از نرمافزار AutoDock ویرایش ۴/۱ و نرمافزار HEX به کمک الگوریتم ژنتیک لامارکین و به روش استاندارد لیگاند انعطاف‌پذیر-پروتئین ثابت صورت گرفت.

- ستر پیتید Aoe-Gly-Pro-Arg-Pro-Ile-Leu-Glu

پیتید بر روی فاز جامد بر اساس روش استاندارد Fmoc که قبلاً گزارش شده است، ستر شد (۳۰). به طور مختصر، پس از آماده‌سازی رزین تریتیل، اولین اسید آمینه (Fmoc-Glu (otBu) به همراه $\text{N}-\text{D}_{\text{I}}$ ایزوپروپیل آمین (DIEA) به عنوان عامل مزدوج کننده

آمینواکسی استیک اسید N- هیدروکسی سوکسینیک ایمید (Eei-NHS) برای ایجاد پیوند هیدرازون یا اکسیم در N- ترمینال پیتید بکار می‌روند. ^{18}FDG به دو فرم خطی و حلقوی در محیط آبی وجود دارد. فرم خطی ^{18}FDG ایجاد کننده گروه آلدہیدی برای تشکیل پیوند اکسیم یا هیدرازون با پیتیدهای حامل گروه آمینواکسی یا هیدرازین می‌باشد. این واکنش در طی یک مرحله از طریق تشکیل پیوند اکسیم یا هیدرازون با گروه آلدہیدی از شکل خطی ^{18}FDG صورت گرفته و باعث فلورینه شدن پیتیدهای حاوی آمینواکسی یا هیدرازین می‌شود. (شکل ۱) (۲۶-۲۲). به علت شیمی اختصاصی این واکنش‌ها، از آن به طور گسترده برای اتصال پیتیدها، پروتئین‌ها و گروههای قندی و اسیدهای چرب به ترکیبات دارای گروه آمینواکسی یا هیدرازین استفاده می‌شود.

ووست (Wuest) و همکاران، پروتئین انکسین را با استفاده از ترکیبات واسطه بر پایه ^{18}FDG در دمای 100°C و با بازده ۴۵-۶۹ درصد نشاندار کردند (۲۷). حدود یک سال بعد، دکتر نام‌آوری و همکاران، از ^{18}FDG برای نشاندارسازی پیتید RGD استفاده نموده و در شرایط اسیدی و حرارت 100°C موفق به نشاندارسازی با بازده کلی ۲۷/۵ درصد شدند (۲۵).

در مطالعه‌ای دیگر، مشتقی دیگر از RGD حلقوی توسط ^{18}FDG با بازده ۶۳ درصد نشاندار شد (۲۸). از آنجایی که در اغلب موارد ^{18}FDG تهیه شده حاوی مقادیری از گلوکز است که می‌تواند در روند تشکیل پیوند اکسیم با ^{18}FDG رقابت کرده و منجر به تشکیل محصول فرعی شود، لذا این واکنش جانبی سبب کاهش اکتیویته ویژه محصول می‌گردد (۲۸). در نتیجه باید به طریقی گلوکز از ^{18}FDG جدا گردد. به منظور غلبه بر واکنش رقابت گلوکز با ^{18}FDG ، روش‌هایی پیشنهاد

شده از طیف LC-Mass استفاده شد.

- نشاندار سازی پپتید با **18FDG**

مقادیری از پپتید متصل به Aoe بین ۱-۰/۵ میلی گرم در حداقل مقدار محلول ۵۰ درصد اتانول / سالین حل گردید و سپس مقدار ۱ میلی کوری **18FDG** به ویال واکنش افزوده شد. نهایتاً ظرف واکنش در دمای ۱۰۰°C به مدت ۳۰ دقیقه انکوبه و پس از سرد شدن عملیات خالص سازی با استفاده از کارتريج به روش ذکر شده در بالا انجام گرفت. برای به دست آوردن خلوص رادیوشیمیایی از سیستم TLC با فاز ساکن سیلیکاژل و استونیتریل ۹۵ درصد به عنوان فاز متحرک استفاده شد. در این سیستم **18FDG** غیرکوئنزوگه در ۰/۵ = Rf و پپتید نشاندار در ۰ = Rf ظاهر گردید (۳۱، ۲۶ و ۳۲).

- تعیین نسبت حلالیت چربی به آب (LogP)

مقدار ۵۰ میکرو کوری (μ Ci) از پپتید نشاندار شده درون میکرو تیوب ۲ میلی لیتری ریخته و به آن ۰/۵ میلی لیتر n-اکтанول (فاز آبی) و ۰/۵ میلی لیتر نرمal سالین (فاز آبی) اضافه شد و به مدت ۴ دقیقه با استفاده از ورتکس مخلوط شده تا رادیوپپتید بین دو فاز آبی و آبی توزیع گردد. سپس مقدار ۵۰ میکرو لیتر از فازهای آبی و آبی برداشته و سپس میکرو تیوب در g ۵۰۰۰ به مدت ۱۰ دقیقه سانتریفیوژ و میزان اکتیویته آنها توسط شمارنده گاما اندازه گیری شد. این کار برای هر یک از نمونه ها سه مرتبه تکرار گردید. با اندازه گیری میانگین اکتیویته فاز آبی و آبی مقدار log P تعیین شد.

- تعیین پایداری پپتید در پلاسمای انسانی و نرمal سالین به منظور ارزیابی پایداری پپتید در نرمal سالین و پلاسمای انسانی، ۵۰ میکرو لیتر از پپتید به ۴۵۰ میکرو لیتر نرمal سالین و پلاسمای انسانی اضافه و نمونه ها به مدت

بر روی رزین اضافه شده و به مدت ۱ ساعت انکوبه گردید. پس از شستشو و کلاهک گذاری رزین، گروه محافظ اسید آمینه Fmoc توسط محلول ۲۵ درصد پیریدین در دی متیل فرمامید جدا می شود. دومین اسید آمینه در حلال دی کلرو متان و دی متیل فرمامید حل شده و به همراه TBTU و DIEA (بنزو تریاکرول تراپتیل اورانیوم ترافلوروبورات) به رزین اضافه می شود. مخلوط دو ساعت انکوبه شده و بقیه مراحل مانند اسید آمینه اول صورت می گیرد. پس از اتمام آخرین اسید آمینه، گروه اکسیم با اضافه کردن Eei-Aoe-NHS تشکیل می گردد. پپتید سنتز شده توسط تری فلورواستیک اسید از رزین جدا می گردد. پپتید با استفاده از HPLC خالص سازی شد. ساختار پپتید سنتز شده توسط دستگاه LC-MS مورد بررسی قرار گرفت.

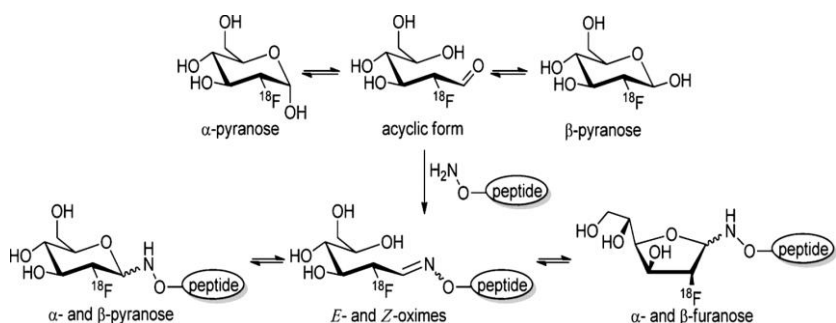
- نشاندار سازی پپتید با **19FDG**

ابتدا ۲ میلی گرم از پپتید متصل به AOE در ۱۰۰ ماکرو لیتر مخلوط ۵۰ درصد اتانول در سالین حل شد. سپس مقدار ۴ اکی والان از **19FDG** (معادل ۲ میلی گرم) و ۵۰ ماکرو لیتر سالین به ویال واکنش افزوده شد. pH واکنش با استفاده از TFA، در دامنه ۲-۲، ۵ تنظیم و نهایتاً ظرف واکنش در دمای ۱۰۰°C به مدت ۳۰ دقیقه انکوبه شده و پس از سرد شدن عملیات خالص سازی صورت گرفت (۲۳ و ۲۸). جهت خالص سازی از کارتريج C18 که توسط ۱۰ میلی لیتر اتانول ۹۶ درصد، ۱۰ میلی لیتر آب مقطر و ۲۰ میلی لیتر هوا فعال شده، استفاده شد. مخلوط واکنش از کارتريج عبور داده و سپس با ۵ میلی لیتر آب مقطر شسته، تا مواد غیرپپتیدی مانند **19FDG** غیرکوئنزوگه خارج شود و در پایان به منظور خروج کوئنزوگه پپتید- **19FDG** مقدار ۲ میلی لیتر اتانول ۹۶ درصد از کارتريج عبور داده شد. برای تأیید کوئنزوگه تهیه

سوپرناتننت توسط TLC هم مورد ارزیابی قرار گرفت.

یافته‌ها

بر اساس نتایج داکینگ توالی‌های انتخاب شده و چگونگی اتصال آنها در جایگاه فعال فیرین، توالی‌های جدید طراحی و مطالعات داکینگ برای آنها صورت گرفت. نتیجه داکینگ پپتید گلایسین-پرولین-آرژین-پرولین-ایزولوسین-لوسین-گلوتامات (GPRPILE) در جایگاه فعال فیرین نشان داد که N-ترمینال گلایسین پپتید با لیزین ۳۲۱ از جایگاه فعال فیرین، آرژین با آسپارنیک اسید ۲۷۲ و آسپاراژین ۳۰۸، ایزولوسین با آسپارنیک اسید ۲۸۸ و فنیل‌آلانین ۲۸۱، پرولین با آلانین ۲۶۳ و لوسین با گلایسین ۲۸۳ دارای برهمکش می‌باشند (شکل ۲). ساختار سه بعدی کریستالوگرافی شده فیرین به صورت فایل pdb از سایت ایترنی PDB با کد (IFZC) گرفته شد (شکل ۳). برای معترسازی نتایج داکینگ از نرم‌افزار PyMol استفاده شد. عملیات داکینگ با استفاده از نرم‌افزار AutoDock ۴/۱ و نرم‌افزار HEX به کمک الگوریتم ژنتیک لامارکین و به روش استاندارد لیگاند انعطاف پذیر-پروتین ثابت صورت گرفت. پس از به دست آوردن نتایج داکینگ، کنفورماتیون‌های داک شده مقایسه از نظر قرارگیری در جایگاه فعال فیرین بر روی هم قرار گرفته شد، که نتایج آن مؤید نزدیکی مطلوب کنفورماتیون‌ها به هم بود.

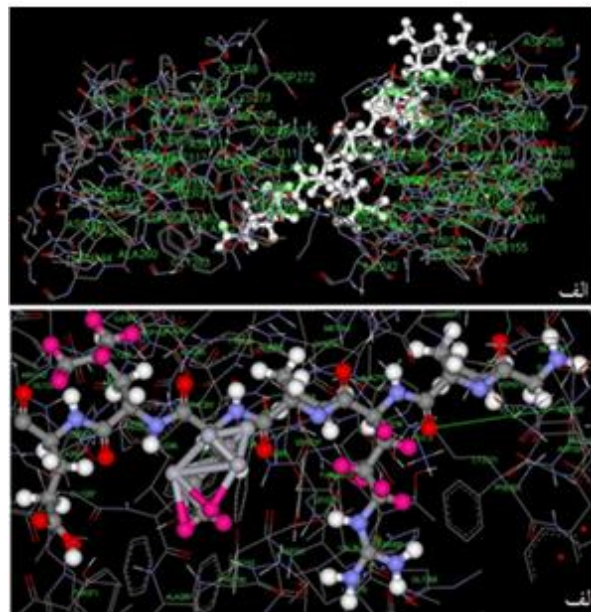


شکل ۱) نشانه‌سازی پپتید با استفاده از ¹⁸FDG

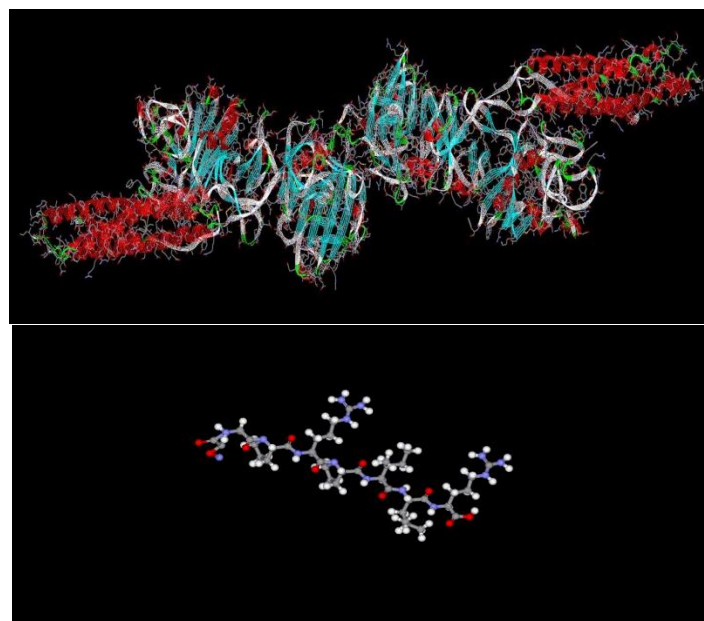
۱، ۲، ۴ و ۲۴ ساعت در دمای اتاق برای نرمال سالین و ۳۷°C برای پلاسمای انکوبه شدن. پس از گذشت زمان انکوباسیون، ۵۰۰ میکرولیتر استونیتریل سرد به منظور رسوب پروتئین‌های پلاسمای از نمونه‌ها اضافه و سپس نمونه‌ها با دور ۱۰۰۰۰g ۱۰ دقیقه سانتریفیوژ شدند و سوپرناتننت توسط LC-Mass بررسی گردید.

- تعیین پایداری پپتید نشاندار در پلاسمای انسانی و نرمال سالین

به منظور ارزیابی پایداری پپتید نشاندار در نرمال سالین و پلاسمای انسانی، ۵۰ میکرولیتر از رادیوپپتید به ۴۵۰ میکرولیتر نرمال سالین و پلاسمای انسانی اضافه و نمونه‌ها به مدت ۱۰، ۳۰ دقیقه و ۱، ۲ ساعت در دمای ۳۷°C انکوبه شدن. پایداری پپتید نشاندار شده با ¹⁸FDG به علت نیمه عمر کوتاه فلوروئر تا ۲ ساعت بررسی گردید. پس از گذشت زمان انکوباسیون، ۵۰۰ میکرولیتر استونیتریل سرد به منظور رسوب پروتئین‌های پلاسمای هر یک از نمونه‌ها اضافه و سپس نمونه‌ها با دور ۱۰۰۰۰g به ۱۰ دقیقه سانتریفیوژ و میزان اکتیویته در رسوب و سوپرناتننت توسط شمارنده گاما تعیین گردید. نسبت میزان اکتیویته سوپرناتننت به اکتیویته رسوب تعیین کننده مقدار پپتید پایدار (رادیوپپتید موجود در سوپرناتننت) به پپتید ناپایدار (رادیوپپتید حبس شده در رسوب) است.



شکل ۲) جایگیری پپتید GPRPILE در جایگاه فعال فیرین



شکل (۳) ساختار سه بعدی کریستالوگرافی شده فیرین (بالا)، ساختار سه بعدی پیشید GPRPILE با استفاده از نرم افزار Marvin Chem (پائین)

روی خصوصیات پیتید می گذارد (۳۴، ۳۳ و ۲۲). در مطالعه حاضر توالی پیتیدی طراحی شده با بازده مناسب با روش Fmoc سترز و جهت تأیید ساختار از استفاده شد (حلوه، ۱).

ستز در فاز جامد با استراتژی Fmoc بر روی بستر -2 کلرو تریتیل کلراید انجام شد. به منظور ایجاد گروه Eei-Aoe-NHS آمینوکسی در پیتید از گروه پروستیک استفاده شد. این گروه با داشتن اندازه کوچک‌تر و اضافه کردن تعداد اتم‌های کمتر به انتهای پیتید حداقل تأثیر را بر

جدول ۱) خصوصیات پپتید **Aoe-GPRPILE** با فرمول مولکولی $C_{37}H_{63}N_{11}O_{12}$ تعیین
شده توسط LC-MS

| طیف جرمی | کروماتوگرافی با کارکرد عالی-فاز معکوس | | |
|--------------------------|---------------------------------------|------------------------|-----------|
| جرم محسابه شده (گرم/مول) | جرم مشاهده شده (گرم/مول) | زمان نگهدارنده (دقیقه) | درصد خلوص |
| ۸۵۳/۵ | $854.[M+H]^{+}$ | ۰/۲۷۳ | >۹۹ |

گردید. شایان ذکر است که ^{18}FDG آزاد در رادیوکروماتوگرام در حدود $Rf=0$ و رادیوپپتید در حدود $Rf=0/5$ ظاهر می‌شود (شکل ۵). خلوص رادیوشیمیائی 95 ± 1 درصد و اکتیویته ویژه Ci/mmol به دست آمد. مقدار $\log P=-1/5$ حاصل شد که $4/3$ نمایانگر هیدروفیل بودن ترکیب است. بررسی پایداری نشان داد که پپتید تا ۲۴ ساعت در پلاسمما و بافر پایدار است. ۹۵ درصد از پپتید نشاندار شده با ^{18}FDG بعد از ۲ ساعت در پلاسمما انسانی پایدار می‌باشد.

بحث

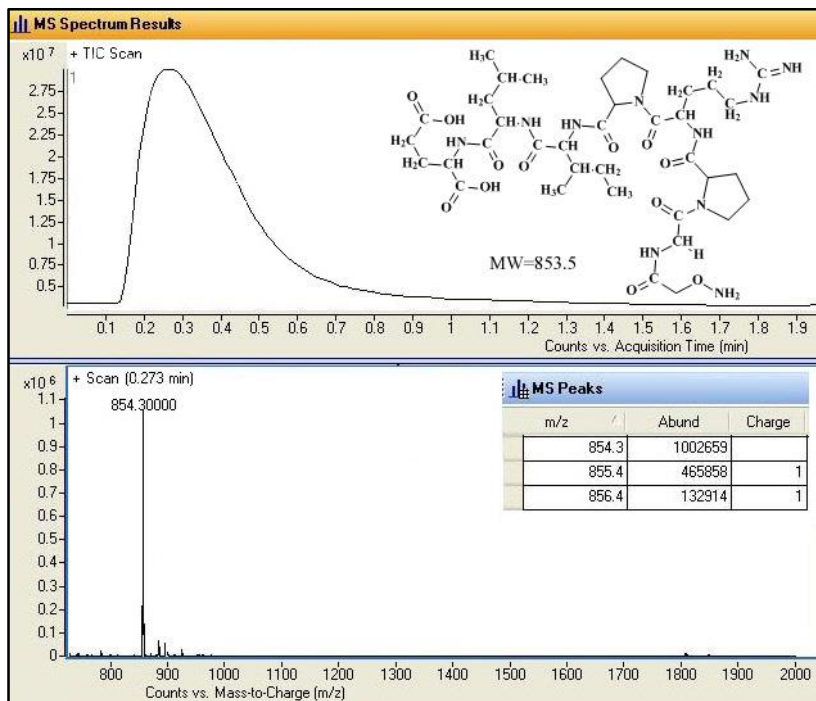
پپتیدها دارای چندین مزیت مشخص نسبت به پروتئین‌ها و آنتی‌بادی‌ها هستند. این مزایا عبارتند از: ۱) اندازه کوچک (۲) تهیه آسان (۳) نشاندارسازی آسان (۴) تکنیک‌های نشاندارسازی متنوع (۵) مقاومت در برابر شرایط شیمیایی و نشاندارسازی (۶) امکان اتصال شلاتورها با دو گروه فعال از سر C و N ترمهیال پپتید (۷) قابلیت تغییر ماندگاری و دفع (۸) پاکسازی سریع از خون و بافت غیر هدف (۹) نسبت بالای تومور به زمینه (۱۰) نفوذ بالا به بافت (۱۱) سمیت پایین (۱۲) تحریک پایین سیستم ایمنی و (۱۳) تمایل بالا و اختصاصی بودن (۳۵-۳۸).

کروماتوگرام حاصله از کروماتوگرافی آنالیتیکال با استفاده از سیستم گرادیانی حلال TFA ۰/۱ درصد در H2O (حال A) و استونیتریل (حال B) حاصل شده است (شکل ۴).

جرم محسابه شده: $C_{37}H_{63}N_{11}O_{12}=853.5$

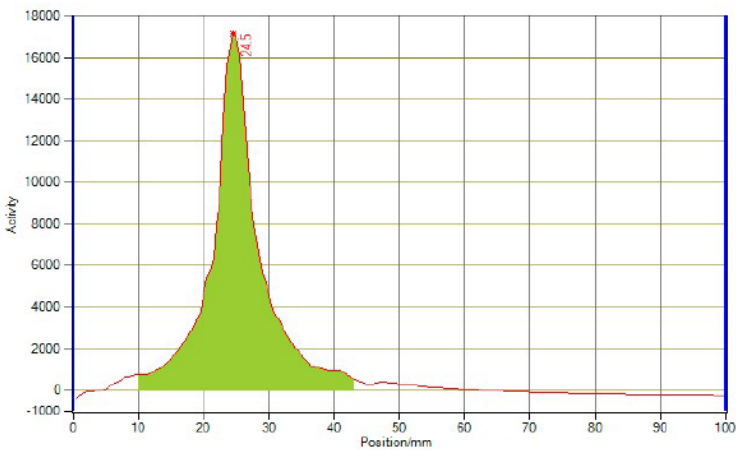
جرم یافت شده: $m/z=854.3 [M+H]^{+}$

به منظور بهبود روند نشاندار سازی پپتید حاوی گروه آمینو اکسی با ^{18}FDG عوامل مختلفی به شرح زیر در نظر گرفته شد: غلظت پپتید ($0/5-1 mg$ pH (اسیدی، بازی، و خنثی)، زمان انکوپاسیون (۱۵، ۳۰ و ۴۵ دقیقه)، دما و مقدار رادیواکتیویته. نتایج نشان داد که بهترین بازده نشاندارسازی در شرایط اسیدی‌تر حاصل می‌شود. شرایط بهینه واکنش عبارت است از: ۲۰۰ میکروگرم پپتید، pH=۵، $90^{\circ}C$ ، زمان واکنش ۳۰ دقیقه و مقدار $1 mCi$ ^{18}FDG برابر ۱. پپتید در شرایط بهینه نشاندار گردید. برای جدا کردن و خالص‌سازی کونزروگه نهایی نشاندار از کارتریج C18 استفاده شد. در مرحله بعد رادیوپپتید را به دستگاه HPLC تزریق و شستشو با حلال آب:استونیتریل (با نسبت ۲۰:۸۰) انجام شد. سپس حاصل شستشو در هر دقیقه جمع‌آوری و مقدار اکتیویته آنها توسط دستگاه شمارنده گاما تعیین گردید. جمع‌آوری حاصل شستشو به مدت ۳۰ دقیقه به طول می‌انجامد. رادیوکروماتوگرام پپتید نشاندار با استفاده از Radio-TLC برسی و خلوص رادیوشیمیائی تعیین

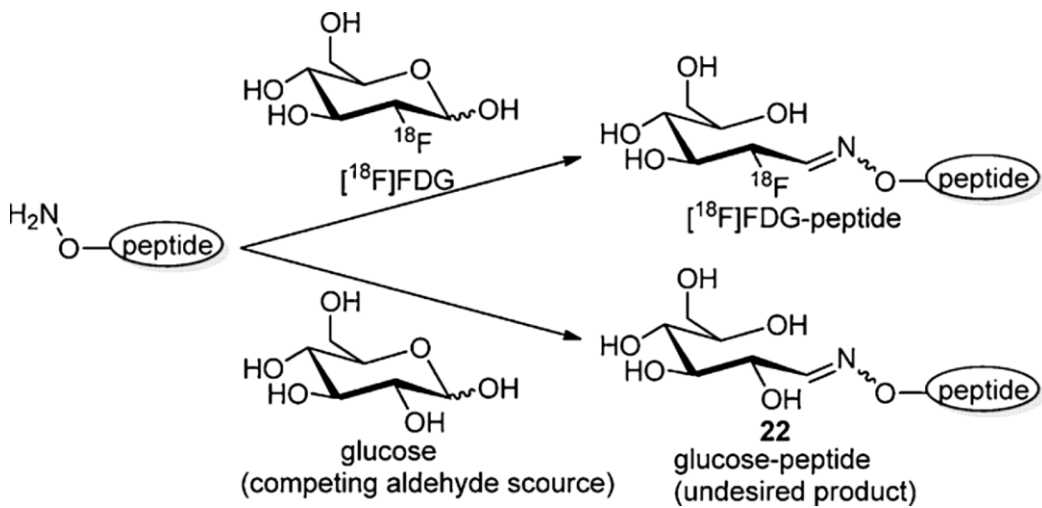


شکل ۴) طیف جرمی AOE-GPRPILE

| Identifier | Area | % Peaks | Max. mm | Start mm | End mm | Maximum | % Total | Rf | Centroid mm |
|------------|-----------|---------|---------|----------|--------|----------|---------|------|-------------|
| Peak 3 | 143255.80 | 100.00 | 24.5 | 10 | 43 | 17176.99 | 98.72 | 0.25 | 25.01 |



شکل ۵) رادیوکروماتوگرام به دست آمده از پپتید توسط TLC اسکنر، 0°C ، $pH=5$ ، دمای 40°C ، قند $>50\text{ میلی‌گرم بر میلی‌مول}$ ۱۸FDG

شکل ۶) رقابت گلوکز با $[^{18}\text{F}]$ FDG برای نشاندارسازی پپتیدها

انتخاب گردید. به منظور نشاندارسازی پپتید با فلورئور-۱۸ و تصویربرداری با دوربین‌های پت، آمیناکسی به انتهای پپتید اضافه شد و نشاندارسازی با ^{18}FDG صورت گرفت.

به علت نقش و اهمیت رادیوداروهای پپتیدی در پزشکی هسته‌ای، مطالعات زیادی در جهت یافتن روش‌های نشاندارسازی سریع، راحت و کارآ برای پپتیدها در جریان می‌باشد. در بین رادیونوکلیدها، تکنسیوم-۹۹m در سیستم اسپیکت و فلورئور-۱۸ در سیستم پت، در دسترس‌ترین رادیونوکلیدها در مراکز پزشکی هسته‌ای می‌باشند. نشاندارسازی پپتیدها با فلورئور مشکل‌تر از تکنسیوم می‌باشد. تعدادی ترکیبات واسطه (prosthetic groups) برای نشاندارسازی با فلورئور معرفی شده‌اند. ولی هنوز ترکیبی که از نظر کلینیکی مناسب باشد برای فلوریناتاسیون پپتیدها توسط اداره غذا و دارو یا FDA تصویب نشده است. ^{18}FDG یک رادیودارو است که توسط FDA برای مصرف در انکولوژی، کاردیولوژی و نورولوژی به تصویب رسیده است. ^{18}FDG یک قند است که در محلول مائی به واسطه موتاروتاسیون (mutarotation) به شکل

TP850 با سکانس رادیوپپتید (GPRPP-aba-GAGG) از طریق ۴ اسید آمینه انتهائی GAGG با تکنسیوم-۹۹m نشاندار می‌شود. ۴-آمینو بوتیریک اسید (aba) برای کاهش ممانعت فضایی در سکانس اضافه شده است. میزان اتصال و تمایل رادیوپپتید فوق به فیبرین انسانی به ترتیب ۴۶ درصد و ۸ نانو مولار گزارش شده است. رادیوپپتید از تجمع پلاکتی هم جلوگیری می‌کند. که این نشان از عدم اختصاصیت برای فیبرین دارد (۱۶). به منظور تهیه پپتیدی که به طور اختصاصی و با تمایل بالا به فیبرین متصل شود، پتا پپتید GPRPP که تمایل مناسبی را به فیبرین در ارزیابی‌های اولیه از خود نشان داده است، به عنوان ترکیب رهبر انتخاب شد و طراحی‌های جدید بر پایه سکانس GPR به عنوان عامل اصلی اتصال به فیبرین در نظر گرفته شد. بر روی سکانس GPR آمینواسیدهای مختلف قرار داده شد و توالی‌های حاصل در مطالعات داکینگ بررسی شدند. هر چه میزان انرژی کل (E Total) منفی تر، تمایل لیگاند پپتیدی به گیرنده فیبرین بیشتر می‌باشد. توالی پپتید GPRPILE با E Total-۰/۰۱، از بین توالی‌ها

تشکیل شده می‌تواند با تشکیل پیوند اکسیم در اتصال به پپتید با ^{18}FDG رقابت کرده و منجر به تشکیل محصول فرعی شود که سبب کاهش اکتیویته ویژه رادیوپپتید و کاهش خلوص رادیوشیمیائی می‌شود (شکل ۶) (۳۴). در نتیجه باید گلوکز از ^{18}FDG جدا شود. جداسازی با استفاده از HPLC صورت می‌گیرد که با توجه به نیمه عمر کوناہ فلورور-۱۸- مناسب نمی‌باشد (۲۸). با افزایش بازده تولید ^{18}FDG مقدار گلوکز کاهش می‌یابد و فعالیت ویژه پپتید نشاندار افزایش می‌یابد. در صورتی که در روند خالص‌سازی ^{18}FDG که در مازول تولید صورت می‌گیرد از ستون کروماتوگرافی مناسب استفاده شود، گلوکز از ^{18}FDG جدا خواهد شد. در حال حاضر این امکان در مازول‌های تولید ^{18}FDG وجود ندارد. در این تحقیق نشاندارسازی پپتید با ^{18}FDG در روزهای مختلف تولید تکرار شد. در روزهای مختلف مقدار گلوکز موجود در محلول ^{18}FDG HPLC اندازه‌گیری شد. نتایج نشان داد که در زمانی که مقدار گلوکز کمتر است، بازده نشاندارسازی و خلوص رادیوشیمیائی پپتید بیشتر بوده و فعالیت ویژه نیز افزایش می‌یابد. با توجه به مزایای استفاده از ^{18}FDG برای نشاندارسازی پپتید (بهبود خصوصیات فارماکوکیتیک پپتید، در دسترس بودن ^{18}FDG ، تک مرحله‌ای بودن واکنش، امکان واکنش فضایگرین و کوئنزوگه کردن ^{18}FDG در یک محل مشخص از پپتید)، در صورت جداسازی گلوکز از ^{18}FDG در مازول تولید، نشاندارسازی راحت، سریع و با بازده بالا صورت می‌گیرد.

نتیجه‌گیری

در حال حاضر برای تصویربرداری از ترومبوز و به طور اختصاصی فیبرین، رادیوداروی مناسب در دسترس

حلقوی و خطی موجود می‌باشد. در شکل خطی آلدھید قند با گروه آمینو اکسی واکنش داده و پیوند اکسیم حاصل می‌شود. مقدار شکل خطی ^{18}FDG با افزایش حرارت و در 100°C افزایش می‌یابد. واکنش تشکیل اکسیم روش بسیار مناسبی برای نشاندارسازی پپتیدها با ترکیبات واسطه حامل فلورور-۱۸- است زیرا تمامی شرایط لازم برای یک واکنش نشاندارسازی برای ^{18}F مانند تک مرحله‌ای بودن، chemoselectivity بودن و قابلیت تبدیل برای انجام به روش اتوماتیک (دستگاهی) را دارا می‌باشد. بنابراین چندین ترکیب با قابلیت تشکیل پیوند اکسیم برای نشاندارسازی پپتیدها معرفی شده‌اند (۱۸).

در مطالعه حاضر، برای سنتز پپتید طراحی شده، از بین دو استراتژی متفاوت سنتز در فاز جامد (BOC) و (Fmoc) از استراتژی Fmoc به دلایلی چون: پایداری در برابر اسید که در صورت جدا کردن پپتید از سطح رزین گروه پایدار می‌ماند. وجود جذب UV بالا که امکان ردیابی واکنش جدا شدن گروه محافظت کننده از سطح پپتید را فراهم می‌کند و امکان تهیه آسان اسیدهای آمینه محافظت شده با گروه Fmoc استفاده شد (۳۳). پپتید با روش Fmoc سنتز شد و قبل از جداسازی از رزین گروه آمینو اکسی بر روی آن قرار گرفت. نشاندارسازی با استفاده از ^{18}FDG و واکنش تشکیل اکسیم صورت گرفت. به منظور ایجاد شرایط بهینه و بالاترین درصد نشاندارسازی عوامل مختلفی نظری: مقدار پپتید، مقدار ^{18}FDG ، مقدار قند همراه در نمونه ^{18}FDG ، دما، زمان، حجم و pH مورد بررسی قرار گرفت. خلوص رادیو شیمیایی پپتید نشاندار با استفاده از TLC تعیین گردید.

^{18}FDG تولید شده به صورت معمول حاوی مقادیری از گلوکز است که در روند تولید ایجاد می‌شود. گلوکز

اختصاصی و بالائی را به فیبرین نشان داده و بر روی تجمع پلاکتی هم اثری نداشته باشد. مطالعات بیشتر در این زمینه ادامه دارد.

تضاد منافع

هیچ گونه تعارض منافع توسط نویسندهای بیان نشده است.

نمیباشد. به منظور تهیه رادیوداروی مناسب برای تصویربرداری از فیبرین، پیتید GPRPILE حاوی گروه آمینواکسی برای نشاندارسازی با ^{18}FDG سنتز شد. به دلیل در دسترس بودن ^{18}FDG در تمامی مراکز پت، ^{18}FDG از پتانسیل بالائی در نشاندارسازی پیتیدها با روش غیرمستقیم برخوردار میباشد. انتظار میرود که پیتید فوق در مطالعات بروند تنی و درون تنی تمایل

References:

- Institute of Medicine Committee on Preventing the Global Epidemic of Cardiovascular Disease: Meeting the Challenges in Developing C. The National Academies Collection: Reports funded by National Institutes of Health. In: Fuster V, Kelly BB, editors. Promoting Cardiovascular Health in the Developing World: A Critical Challenge to Achieve Global Health. First ed. Washington (DC): National Academies Press (US); 2010, 1-482.
- Friedman M, Rosenman RH. Association of specific overt behavior pattern with blood and cardiovascular findings; blood cholesterol level, blood clotting time, incidence of arcus senilis, and clinical coronary artery disease. J Am Med Assoc 1959; 169(12): 1286-96.
- Nichols M, Townsend N, Scarborough P, et al. Cardiovascular disease in Europe 2014: epidemiological update. European Heart Journal 2014; 35(42): 2950-9.
- Hatmi ZN, Tahvildari S, Gafarzadeh Motlag A, et al. Prevalence of coronary artery disease risk factors in Iran: a population based survey .BMC Cardiovascular Disorders 2007; 7:32.
- Das K, Mandal GP, Dutta AK, et al. Awareness of warning symptoms and risk factors of stroke in the general population and in survivors of stroke. J Neurosci 2007; 14(1): 12-6.
- Hara T, Bhayana B, Thompson B, et al. Molecular imaging of fibrin deposition in deep vein thrombosis using a new fibrin-targeted near-infrared fluorescence (NIRF) imaging strategy. Jacc. Cardiovascular Imaging 2012; 5(6): 607-15.
- Kanavos P. The rising burden of cancer in the developing world. Ann Oncol 2006; 17 Suppl 8: viii15-viii23.
- Aruva MR, Daviau J, Sharma SS, Thakur ML. Imaging thromboembolism with fibrin-avid
- 99mTc-peptide: evaluation in swine. Journal of Nuclear Medicine 2006; 47(1):155-62.
- Falanga A, Marchetti M, Vignoli A, et al. Clotting mechanisms and cancer: implications in thrombus formation and tumor progression. Clinical advances in hematology & oncology: H&O 2003; 1(11): 673-8.
- Starmans LWE, Van Duijnhoven SMJ, Rossin R, et al. Evaluation of ^{111}In -labeled EPep and FibPep as tracers for fibrin SPECT imaging. Molecular Pharmaceutics 2013; 10(11): 4309-21.
- Bosnjakovic VB, Jankovic BD, Horvat J,et al. Radiolabelled anti-human fibrin antibody: a new thrombus-detecting agent. The Lancet 1977; 309(8009): 452-4.
- Thundimadathil J. Cancer treatment using peptides: current therapies and future prospects. J Amino Acids 2012; 2012: 1-14. doi: 10.1155/2012/967347
- Schibli R, Schubiger PA. Current use and future potential of organometallic radiopharmaceuticals. European Journal of Nuclear Medicine and Molecular Imaging 2002; 29(11):1529-42.
- Rosebrough SF, Kudryk B, Grossman ZD, et al. Radioimmunoimaging of venous thrombi using iodine-131 monoclonal antibody. Radiology 1985; 156(2): 515-517.
- Scott F, Rosebrough JGM, Zachary D. Grossman and Lisa A. Schemancik. Immunoreactivity of ^{111}In and ^{131}I fibrin-specific monoclonal antibody used for thrombus imaging. Journal of Immunological Methods 1989; 116(1): 123-9.
- Thakur ML, Pallela VR, Consigny PM, et al. Imaging vascular thrombosis with ^{99}mTc -labeled fibrin alpha-chain peptide. J Nucl Med 2000; 41(1): 161-8.
- David C. Young. Computational Drug Design. A guide for computational and medicinal

- chemists. John Wiley and sons. 2009. ISBN: 978-0-470-45184-7
18. Meszaros LK, Dose A, Biagini S.C.G, Blower P.J. *Hydrazinonicotinic acid (HYNIC) - Coordination chemistry and applications in radiopharmaceutical chemistry*. Inorganica Chimica Acta 2010; 363 (6): 1059-69.
19. Dirksen A, Hackeng TM, Dawson PE. Nucleophilic Catalysis of Oxime Ligation. Angew Chem Int. 2006; 20;45(45):7581-4.
20. Kalinowski HO, Kessler H. Fast isomerizations about double bonds. In topics in stereochemistry. John Wiley&Sons, Inc. 2007; 295-383. DOI: 10.1002/9780470147160
21. Eugene G. Sander, William P. Jencks. Equilibria for additions to the carbonyl group. J. Am. Chem. Soc 1968; 90 (22): 6154-62.
22. Eugene H. Cordes, William P. Jencks. Nucleophilic Catalysis of Semicarbazone Formation by Anilines. J. Am. Chem. Soc 1962; 84(5): 826-31.
23. Duléry V, Renaudet O, Dumy P. Ethoxyethylidene protecting group prevents N-overacylation in amiooxy peptide synthesis. Tetrahedron 2007; 63(40): 11952-58.
24. Glaser M, Morrison M, Solbakken M, et al. Radiosynthesis and biodistribution of cyclic RGD peptides conjugated with novel [18F]fluorinated aldehyde-containing prosthetic groups. Bioconjugate chemistry 2008; 19(4):951-57.
25. Namavari M, Cheng Z, Zhang R, et al. A novel method for direct site specific radiolabeling of peptides using 18FDG. Bioconjugate Chemistry 2009; 20(3): 432-6.
26. Khoshbakht S, Kobarfard F, Beiki D, et al. HYNIC a bifunctional prosthetic group for the labeling of peptides with ^{99m}Tc and 18FDG. Journal of Radioanalytical and Nuclear Chemistry 2015; 307(2): 1125-34.
27. Wuest F1, Berndt M, Bergmann R, et al. Synthesis and application of [18F]FDG-maleimidehexyloxime ([18F]FDG-MHO): a [18F]FDG-based prosthetic group for the chemoselective 18F-labeling of peptides and proteins. bioconjugate chemistry 2008; 19(6):1202-10.
28. Hultsch C, Schottelius M, Auernheimer J, et al. (18)F-Fluoroglucosylation of peptides, exemplified on cyclo(RGDfK). Eur J Nucl Med Mol Imaging. 2009; 36(9): 1469-74.
29. Bruus-Jensen K, Poethko T, Schottelius M, et al. Chemosselective hydrazone formation between HYNIC-functionalized peptides and (18)F-fluorinated aldehydes. Nuc Med Bio. 2006; 33(2):173-83.
30. Rezaeianpour S, Hajiagha Bozorgi A, Moghimi A, et al. Synthesis and biological evaluation of cyclic [^{99m}Tc]-HYNIC-GPRPPC as a fibrin-binding peptide for molecular imaging of thrombosis and its comparison with [^{99m}Tc]-HYNIC-GPRPP. Molecular Imaging and Biology 2017; 19(2):256-64.
31. Khoshbakht S, Beiki D, Geramifar P, et al. 18FDG-labeled LIKKPF: a PET tracer for apoptosis imaging. Journal of Radioanalytical and Nuclear Chemistry 2016; 310(1): 413-21.
32. Khoshbakht S, Beiki D, Geramifar P, et al. Synthesis, radiolabeling, and biological evaluation of Peptide LIKKPF functionalized with HYNIC as apoptosis imaging agent. Iran J Pharm Res IJPR. 2016; 15(2): 415-24.
33. Ben M. Dunn. Peptide Chemistry and Drug Design. John Wiley & Sons Inc .2015; 11-104. ISBN: 978-1-118-99641-6
34. DEAN PM. Molecular Similarity in Drug Design. Netherlands: Springer. 1995; 258-294. ISBN 978-94-011-1350-2
35. Pickett SD, Mason JS, McLay IM. Diversity Profiling and Design Using 3D Pharmacophores: Pharmacophore-Derived Queries (PDQ). Journal of Chemical Information and Computer Sciences. 1996; 36(6):1214-23.
36. Carpinino LA, Han GY. 9-Fluorenylmethoxycarbonyl function, a new base-sensitive amino-protecting group. Journal of the American Chemical Society. 1970; 92(19):5748-9.
37. McGregor MJ, Muskal SM. Pharmacophore Fingerprinting. Application to QSAR and Focused Library Design. J. Chem. Inf. Comput. Sci 1999; 39(3): 569-74.
38. Starmans LW, Van Duijnhoven SM, Rossin R, et al. SPECT imaging of fibrin using fibrin-binding peptides. Contrast media & molecular imaging 2013; 8(3):229-37.

Original Article

Design, Synthesis and Radiolabeling of Peptide GPRPILE with ^{18}FDG as Fibrin Imaging Agent for Thrombosis Detection

**S. Rezaeianpour (PhD)^{1*}, M. Mosayebnia (PhD)², A. Hajiagha Bozorgi (PhD)³,
A. Moghimi (PhD)¹, S. Balalaie (PhD)⁴, S. Shahhosseini (PhD)^{5**}**

¹ Department of chemistry, North Tehran Branch Islamic Azad University, Tehran, Iran

² Department of Radiopharmacy, School of Pharmacy, Tehran University of Medical Sciences, Tehran, Iran

³ School of Pharmacy, Alborz University of Medical Sciences, Karaj, Iran

⁴ Peptide Chemistry Research Center, K.N. Toosi University of Technology

⁵ Department of Pharmaceutical Chemistry and Radiopharmacy, School of Pharmacy, Protein Technology Research Center, Shahid Beheshti University of Medical Sciences, Tehran, Iran

(Received 2 Nov, 2017)

Accepted 22 Jan, 2018)

Abstract

Background: The radionuclide of choice for routine clinical PET imaging is ^{18}F . As direct fluorination of peptides with ^{18}F is not possible, indirect methods using fluorinated prosthetic groups have been developed. Due to the availability of ^{18}FDG in most PET centers, there is potential for ^{18}FDG as a fluorinated prosthetic group. In this study, the linear peptide GPRPILE with an aminoxy group was designed, synthesized and radiolabeled with ^{18}FDG as fibrin imaging agent.

Material and Methods: Docking studies were conducted done using AutoDock 4.1 and HEX software programs. Aoe-GPRPILE peptide was designed, synthesized through Fmoc method and radiolabeled with ^{18}FDG . The radiochemical purity, stability of radiolabeled and cold peptide in PBS and human plasma was determined using chromatographic methods. The solubility ratio of the radiolabeled peptide in lipid to water (LogP) was determined.

Results: Docking and pharmacophore studies using HEX software revealed high affinity of designed peptide to fibrin (E Total=−0.01). The identity and structure of peptide were determined by LC-Mass. Peptide was stable over 24 hr in human plasma and PBS buffer. The optimum conditions of radiolabeling were 0.2 mg peptide, 1 mCi ^{18}FDG , 90°C for 30 min, pH=5. The radiochemical purity was over 95%. The stability of radiolabeled peptide in human plasma for 2 hr was over 95%. The partition coefficient (LogP) was 1.5.

Conclusion: ^{18}FDG has a high potential to be used as a prosthetic group for radiolabeling of peptides with ^{18}F . In this study, peptide Aoe-GPRPILE with aminoxy was synthesized and labeled with ^{18}FDG with high yield and radiochemical purity. Aminoxy is conjugated to peptide sequence as a prosthetic group in the last step with minimal effect on peptide properties and selectively forms stable oxime bond with the aldehyde group of ^{18}FDG .

Key words: Thrombosis, Radiolabeling with ^{18}FDG , Peptide, fibrin

©Iran South Med J. All rights reserved.

Cite this article as: Rezaeianpour S, Mosayebnia M, Hajiagha Bozorgi A, Moghimi A, Balalaie S, Shahhosseini S. Design, Synthesis and Radiolabeling of Peptide GPRPILE with ^{18}FDG as Fibrin Imaging Agent for Thrombosis Detection. Iran South Med J 2018; 21(3): 228-241

Copyright © 2018 Rezaeianpour, et al. This is an open-access article distributed under the terms of the Creative Commons Attribution-noncommercial 4.0 International License which permits copy and redistribute the material just in noncommercial usages, provided the original work is properly cited.

*Address for correspondence: Department of Pharmaceutical Chemistry and Radiopharmacy, School of Pharmacy, Shahid Beheshti University of Medical Sciences, Tehran, Iran. Email: s_shahoseini@sbmu.ac.ir

*ORCID: 0000-0002-0451-6202

**ORCID: 0000-0001-5681-073X